

### บทที่ 3

#### วิจารณ์ผลการทดลอง

#### 3.1 การตรวจสอบสูตรโครงสร้างของสารที่แยกได้จากรากประยงค์

##### 3.1.1 การตรวจสอบสูตรโครงสร้างของสาร ก

สาร ก เป็นผลึกรูปเข็มสีขาว หนัก 0.65 กรัม ( $1.7 \times 10^{-2}$  % ของน้ำหนักแห้ง) มีจุดหลอมเหลว  $135-137^{\circ}\text{C}$   $R_f = 0.45$  (เฮกเซน:ไดคลอโรมีเทน 1:1) ได้จากสิ่งสกัดด้วยเฮกเซน ในลำดับส่วนที่ 17-19 และ 22 ของการทาคอลัมน์โครมาโทกราฟี ครั้งที่ 1 และ 2 ตามลำดับ โดยใช้ซิลิกาเจลเป็นตัวดูดซับ ลำดับส่วนที่ 24-25 ของการทาคอลัมน์โครมาโทกราฟีโดยใช้อะลูมินาเป็นตัวดูดซับ และจากสิ่งสกัดด้วยไดคลอโรมีเทน ในลำดับส่วนที่ 13-14 ซึ่งถูกชะด้วย ไดคลอโรมีเทน-เฮกเซน (50:50) เหมือนกันทั้งหมด ทำให้บริสุทธิ์โดยการตกผลึกด้วยเฮกเซนหลาย ๆ ครั้ง จากการทดสอบด้วยปฏิกิริยา Liebermann-Burchard ให้สารละลายสีเขียว แสดงว่า สาร ก เป็นสารประเภทสเตอรอยด์ และพอกจางสี  $\text{Br}_2$  ใน  $\text{CCl}_4$  แสดงว่า สาร ก เป็นสารไม่อิ่มตัว

อินฟราเรดสเปกตรัม (รูปที่ 8) แสดงแถบการดูดกลืนแสงซึ่งเป็นลักษณะที่สำคัญ คือ  $3600-3200 \text{ cm}^{-1}$  (O-H),  $1060-1040 \text{ cm}^{-1}$  (C-O),  $970 \text{ cm}^{-1}$ ,  $960 \text{ cm}^{-1}$  (disubstituted vinyl) และ  $840 \text{ cm}^{-1}$ ,  $800 \text{ cm}^{-1}$  (trisubstituted vinyl) และได้รวบรวมแถบการดูดกลืนแสงไว้ในตารางที่ 3.1

ตารางที่ 3.1 การแปลความหมายของอินฟราเรดสเปกตรัมของ สาร ก

แถบการดูดกลืน ( $\text{cm}^{-1}$ )	ความเข้ม	แสดงลักษณะ
3600-3200	ปานกลาง	O-H สั่นแบบยืดของ R-OH
2940-2860	สูง	C-H สั่นแบบยืดของ $\text{CH}_3$ , $\text{CH}_2$
1640	ต่ำ	C=C สั่นแบบยืดของแอลคีน
1465	ปานกลาง	C-H สั่นแบบงอ $\text{CH}_3$ , $\text{CH}_2$
1380, 1370	ปานกลาง	C-H สั่นแบบงออย่างสมมาตรของ $\text{CH}_3$
1060-1040	ปานกลาง	C-O สั่นแบบยืด และ O-H สั่นแบบงอ
970-960	ต่ำ	C-H สั่นแบบงอแบบนอกระนาบของ $\text{R}_1\text{CH}=\text{CHR}_2$
840, 800	ต่ำ	C-H สั่นแบบงอแบบนอกระนาบของ $\text{R}_1\text{R}_2\text{C}=\text{CHR}_3$

โปรตอนเอ็นเอ็มอาร์สเปกตรัม ( $\text{CDCl}_3$ ) ของสาร ก (รูปที่ 9) ปรากฏ สัญญาณที่ 0.70-1.06 ppm ซึ่งเป็นสัญญาณของหมู่เมทิลที่เกาะอยู่ที่ C-18 และ C-19 และหมู่เมทิลที่เกาะอยู่ที่ C-21, C-26, C-27 และ C-29 สัญญาณที่ 1.51-2.30 ppm เป็นสัญญาณของหมู่เมทิลีน ( $-\text{CH}_2-$ ) และหมู่เมไธน ( $\text{CH}$ ) ของสเตอรอยด์ สัญญาณที่ 3.46 ppm (m) แสดงถึงโปรตอนของหมู่ไฮดรอกซิล สัญญาณที่ 5.08 ppm (dd) แสดงถึง disubstituted vinyl proton (H-22 และ H-23) และสัญญาณที่ 5.32 ppm เป็นสัญญาณของ trisubstituted vinyl proton (H-6)

คาร์บอน-13 เอ็นเอ็มอาร์สเปกตรัม ( $\text{CDCl}_3$ ) (รูปที่ 10) ปรากฏสัญญาณที่  
ใกล้เคียงกับ  $^{13}\text{C}$  NMR สเปกตรัม ของ  $\beta$ -sitosterol และ stigmasterol ดังแสดง  
ในตารางที่ 3.2 [34]

ตารางที่ 3.2 ค่า chemical shifts ของคาร์บอน-13 เอ็นเอ็มอาร์ ของ  $\beta$ -sitosterol,  
stigmasterol และ สาร  $\mu$

ตำแหน่งคาร์บอน	chemical shifts (ppm)		
	$\beta$ -sitosterol	stigmasterol	สาร $\mu$
1	37.1	37.4	37.25
2	31.8	31.7	31.64
3	71.9	71.8	71.78
4	42.4	42.4	42.29
5	140.9	140.0	140.76
6	121.8	121.7	121.68
7	32.0	31.9	31.90
8	32.0	31.9	31.90
9	50.3	50.3	50.13
10	36.6	36.6	36.49
11	21.1	21.1	21.07
12	39.9	39.8	39.77

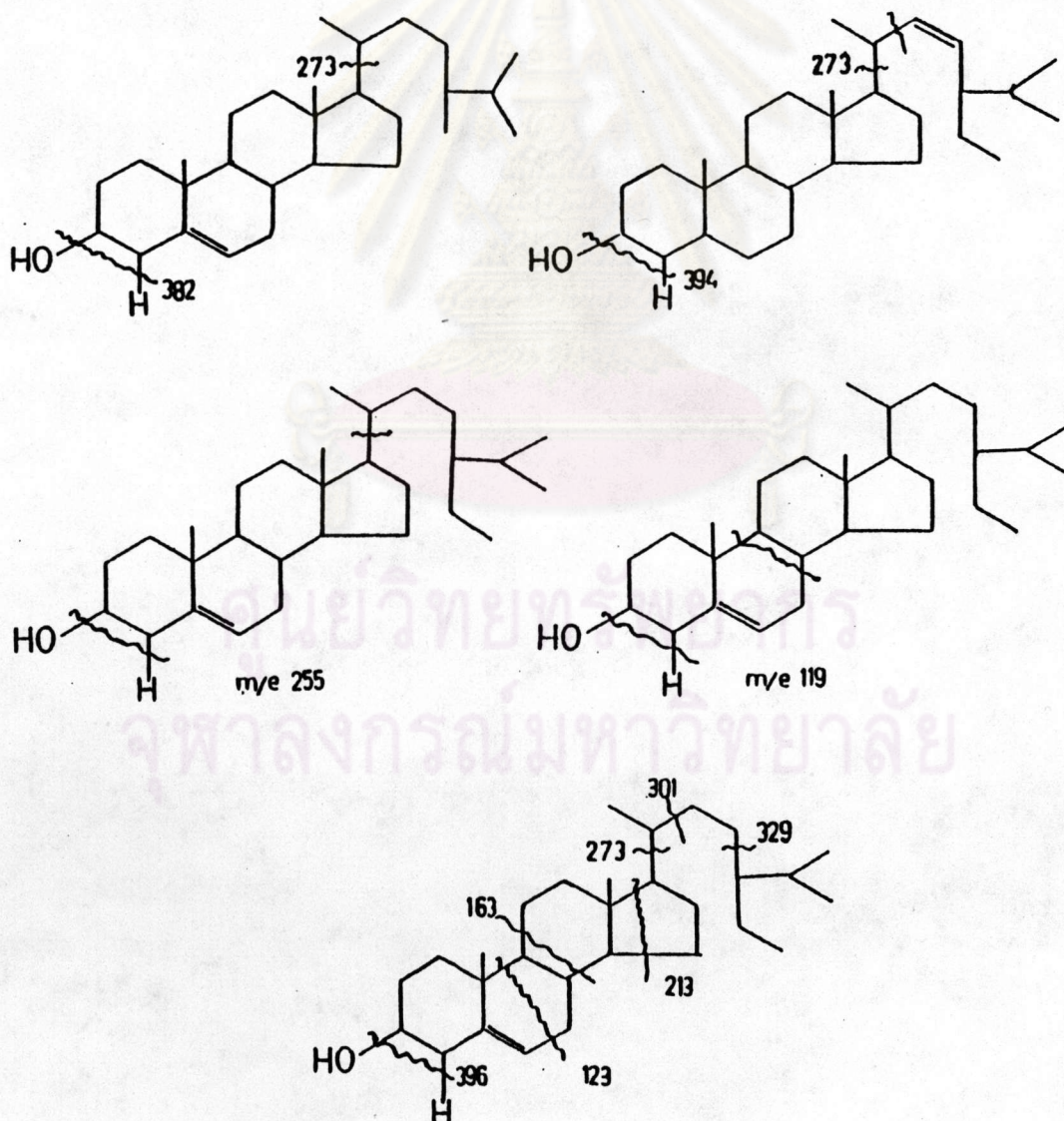
(ต่อ)

ตารางที่ 3.2 (ต่อ)

ตำแหน่งคาร์บอน	chemical shifts (ppm)		
	$\beta$ -sitosterol	stigmasterol	สาร ก
13	42.4	42.4	42.29
14	56.8	57.0	56.76
15	24.3	24.4	24.28
16	28.2	28.9	28.23,28.89
17	56.2	56.0	56.06
18	11.9	12.2	11.84,12.21
19	19.4	19.4	19.37
20	36.2	40.5	36.13,40.45
21	19.1	21.1	19.02,21.07
22	34.0	138.4	33.94,138.29
23	29.3	129.4	29.16,129.28
24	50.3	51.3	51.22
25	26.2	31.9	26.09,31.90
26	18.8	19.0	18.96
27	19.8	21.1	19.79,21.19
28	23.1	25.4	23.09,25.38
29	11.9	12.0	11.97,12.03

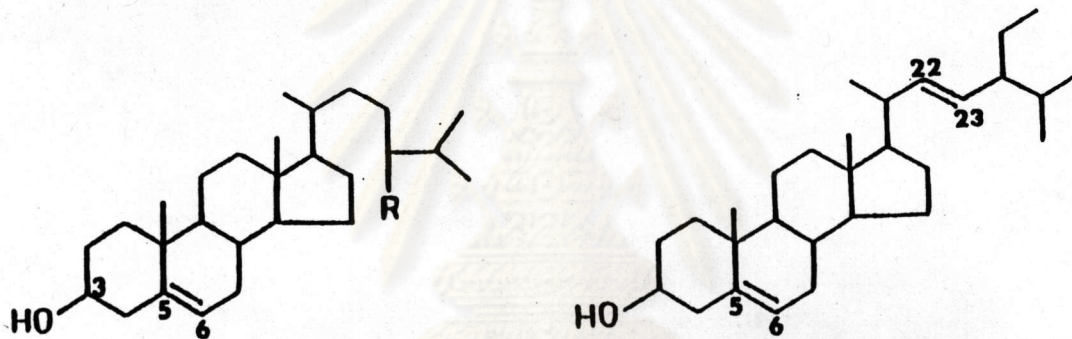
แมสสเปกตรัม (รูปที่ 11) แสดงพีคของไอออนเชิงโมเลกุลของ  $\beta$ -sitosterol ที่ m/e 414.0 และเป็นลักษณะเฉพาะในการแตกโมเลกุลของ C<sub>29</sub> steroid อย่างไรก็ตามพีคที่สำคัญอีก 2 พีค คือ m/e 412.0 และ 400.0 ไม่ใช่ส่วนของ  $\beta$ -sitosterol แมสสเปกตรัมของสารนี้ชี้ให้เห็นว่าสารประกอบนี้เป็นของผสมสเตอรอยด์ที่พบในธรรมชาติ รูปแบบที่เป็นไปได้ในการแตกมวลของโมเลกุลของ สาร  $\eta$  แสดงดังแผนภาพที่ 3.1 [35]

แผนภาพที่ 3.1 รูปแบบที่เป็นไปได้ในการแตกมวลของโมเลกุลของ สาร  $\eta$



จากข้อมูลปฏิกิริยาเคมี และสเปกโทรสโกปี สาร  $\eta$  มีลักษณะใกล้เคียงกับ สารประเภทสเตอรอยด์ จึงทำการยืนยันสูตรโครงสร้างของ สาร  $\eta$  ด้วยแก๊สโครมาโทกราฟี เปรียบเทียบกับสารละลายมาตรฐานสเตอรอยด์ (รูปที่ 12) พบว่า สาร  $\eta$  ให้ค่า retention time เท่ากับ 20.95, 22.10 และ 24.97 นาที ซึ่งตรงกับค่า retention time ของ campesterol, stigmasterol และ  $\beta$ -sitosterol ตามลำดับ

จากข้อมูลที่กล่าวมาข้างต้นสรุปได้ว่า สาร  $\eta$  เป็นของผสมสเตอรอยด์ที่ ประกอบด้วย campesterol 5.9 %, stigmasterol 30.3 % และ  $\beta$ -sitosterol 63.8 % และมีสูตรดังนี้



R=Me, campesterol

stigmasterol

R=Et,  $\beta$ -sitosterol

ศูนย์วิทยทรัพยากร  
จุฬาลงกรณ์มหาวิทยาลัย



### 3.1.2 การตรวจหาสูตรโครงสร้างของสาร ข

สาร ข เป็นของแข็งอสัณฐานสีขาว หนัก 0.42 กรัม ( $1.0 \times 10^{-2}$  % ของน้ำหนักรากแห้ง) จุดหลอมเหลว  $260^{\circ}\text{C}$  (decomposed) ได้จากสิ่งสกัดด้วยไดคลอโรมีเทน ในลำดับส่วนที่ 31-37 และจากสิ่งสกัดด้วยเอธิลอะซีเตต ในลำดับส่วนที่ 4-6 ของการทำคอลัมน์โครมาโทกราฟีโดยใช้ซิลิกาเจลเป็นตัวดูดซับ และถูกชะด้วยเมทานอล-ไดคลอโรมีเทน (5:95) ทำให้บริสุทธิ์โดยการตกผลึกด้วยเมทานอลหลาย ๆ ครั้ง  $R_f = 0.65$  (เมทานอล-คลอโรฟอร์ม 5:95) ให้สารละลายสีเขียว กับ Liebermann-Burchard รีเอเจนต์ แสดงว่าเป็นสารประเภทสเตอรอยด์

อินฟราเรดสเปกตรัม (รูปที่ 13) แสดงแถบการดูดกลืนแสง ที่  $3410 \text{ cm}^{-1}$  ซึ่งเป็นลักษณะของหมู่ไฮดรอกซิลและแถบการดูดกลืนแสงที่  $1065-1020 \text{ cm}^{-1}$  ซึ่งเป็นลักษณะของ glycosidic linkage ข้อมูลการดูดกลืนแสงของสาร ข แสดงดังตารางที่ 3.3

ตารางที่ 3.3 การแปลความหมายของอินฟราเรดสเปกตรัมของ สาร ข

แถบการดูดกลืน ( $\text{cm}^{-1}$ )	ความเข้ม	แสดงลักษณะ
3600-3200	ปานกลาง	O-H สั่นแบบยืด
2940-2840	สูง	C-H สั่นแบบยืดของ $\text{CH}_3$ , $\text{CH}_2$
1640	ต่ำ	C=C สั่นแบบยืด
1460, 1380	ปานกลาง	C-H สั่นแบบงอ $\text{CH}_3$ , $\text{CH}_2$
1160-1020	สูง	C-O สั่นแบบยืดของ glycosidic linkage

โปรตอนเอ็นเอ็มอาร์สเปกตรัม (DMSO) (รูปที่ 14) ให้สัญญาณโปรตอนที่ 0.68-2.20 ppm ซึ่งเป็นลักษณะเฉพาะของโปรตอนที่เป็นสารประเภทสเตอรอยด์ สัญญาณที่ 5.36 ppm เกิดจาก olefinic proton สัญญาณที่ 3.73-4.79 ppm เกิดจากโปรตอนที่เป็นส่วนของน้ำตาล สัญญาณที่ 4.18 ppm เกิดจาก anomeric proton ซึ่งแสดงให้เห็นว่า มี glycosidic linkage

จากข้อมูลอินฟราเรดสเปกตรัม, โปรตอนเอ็นเอ็มอาร์สเปกตรัม และการทดสอบปฏิกิริยาเคมี แสดงว่า สาร ข จะประกอบด้วยส่วนที่เป็น สเตอรอยด์ต่ออยู่กับส่วนของน้ำตาลที่ตำแหน่ง C-3 ด้วย glycosidic linkage [36,37]

คาร์บอน-13 เอ็นเอ็มอาร์สเปกตรัม (DMSO)(รูปที่ 15) จะปรากฏสัญญาณของ olefinic carbon ที่ 140.25 ppm และ 121.19 ppm สัญญาณของคาร์บอนในโมเลกุลของน้ำตาลปรากฏที่ 100.86-61.22 ppm และสัญญาณที่ 56.21-11.57 ppm เกิดจากส่วนของสเตอรอยด์

จากข้อมูลสเปกโทรสโกปี สาร ข มีลักษณะใกล้เคียงกับสารประเภท steroid glycoside จึงยืนยันสูตรโครงสร้างของสาร ข โดยการไฮโดรไลซ์ ด้วย 5 % กรดไฮโดรคลอริกในเอทานอล แล้วนำไปสกัดด้วยอีเธอร์ จะได้ aglycone (สาร 1ข) อยู่ในชั้นอีเธอร์ ส่วนน้ำตาลอยู่ในชั้นน้ำ นำสาร 1ข มาตกผลึกด้วยเมทานอลหลาย ๆ ครั้ง ได้ผลึกเป็นแผ่นสีขาวหนัก 0.038 กรัม มีจุดหลอมเหลว 135-137°C ละลายได้ดีใน ไดคลอโรมีเทน อีเธอร์ เอทานอล ให้สารละลายสีเขียวกับปฏิกิริยา Liebermann-Burchard และพอกจางสี Br<sub>2</sub> ใน CCl<sub>4</sub>

อินฟราเรดสเปกตรัม (KBr)(รูปที่ 17) พบการดูดกลืนที่สำคัญคือ 3600-3200 ซม.<sup>-1</sup> (O-H), 1060-1040 ซม.<sup>-1</sup> (C-O), 970 ซม.<sup>-1</sup>, 960 ซม.<sup>-1</sup> (disubstituted vinyl) และ 840 ซม.<sup>-1</sup>, 800 ซม.<sup>-1</sup> (trisubstituted vinyl) ดังแสดงในตารางที่ 3.4



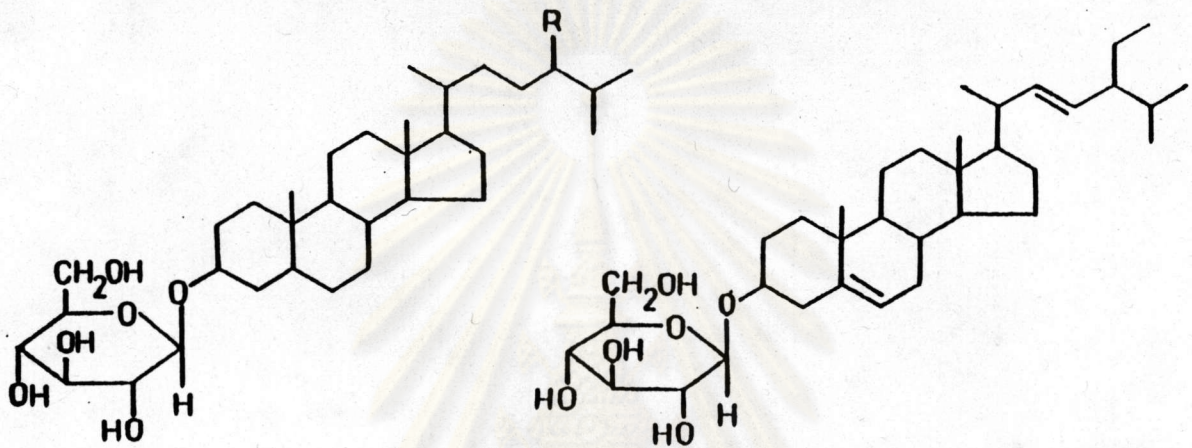
ตารางที่ 3.4 การแปลความหมายของอินฟราเรดสเปกตรัมของ สาร 1๗

แถบการดูดกลืน ( $\text{cm}^{-1}$ )	ความเข้ม	แสดงลักษณะ
3600-3200	ปานกลาง	O-H สั่นแบบยืดของ R-OH
2940-2860	สูง	C-H สั่นแบบยืดของ $\text{CH}_3$ , $\text{CH}_2$
1640	ต่ำ	C=C สั่นแบบยืดของแอลคีน
1465	ปานกลาง	C-H สั่นแบบงอ $\text{CH}_3$ , $\text{CH}_2$
1380, 1370	ปานกลาง	C-H สั่นแบบงออย่างสมมาตรของ $\text{CH}_3$
1060-1040	ปานกลาง	C-O สั่นแบบยืด และ O-H สั่นแบบงอ
970-960	ต่ำ	C-H สั่นแบบงอแบบนอกระนาบของ $\text{R}_1\text{CH}=\text{CHR}_2$
840, 800	ต่ำ	C-H สั่นแบบงอแบบนอกระนาบของ $\text{R}_1\text{R}_2\text{C}=\text{CHR}_3$

จากข้อมูลอินฟราเรดสเปกตรัม มีลักษณะใกล้เคียงกับสารประเภทสเตอรอยด์ จึงทำการยืนยันสูตรโครงสร้างด้วยแก๊สโครมาโทกราฟี เปรียบเทียบกับสารละลายมาตรฐาน สเตอรอยด์ (รูปที่ 18) ค่า retention time เท่ากับ 17.94, 18.87 และ 21.04 ซึ่งใกล้เคียงกับค่า retention time ของ campesterol, stigmasterol และ  $\beta$ -sitosterol

สำหรับขั้นหน้านำมาวิเคราะห์ด้วยเบเบอร์โครมาโทกราฟี เทียบกับสารละลาย มาตรฐานน้ำตาลพบว่า น้ำตาลที่พบคือ glucose

ผลการศึกษานิวคลีอิกแอซิด และ ข้อมูลสเปกโทรสโกปี เปรียบเทียบกับ  
 สารมาตรฐานแสดงว่า สาร ข คือ สารผสม steroid glycoside ที่ประกอบด้วย  
 campesteryl-3-O-glucopyranoside , stigmasteryl-3-O-glucopyranoside และ  
 $\beta$ -sitosteryl-3-O-glucopyranoside และมีสูตรดังนี้



stigmasteryl-3-O-glucopyranoside

R=Me, campesteryl-3-O-glucopyranoside

R=Et,  $\beta$ -sitosteryl-3-O-glucopyranoside

ศูนย์วิทยทรัพยากร  
 จุฬาลงกรณ์มหาวิทยาลัย

### 3.1.3 การตรวจหาสูตรโครงสร้างของสาร ค

สาร ค เป็นของแข็งอสัณฐานสีขาว หนัก 0.12 กรัม ( $0.3 \times 10^{-2}$  % ของน้ำหนักปรากฏแห้ง) จุดหลอมเหลว  $74-75^{\circ}\text{C}$   $R_f = 0.57$  (คลอโรฟอร์ม) ได้จากการแยกสิ่งสกัดด้วยเฮกเซน ในลำดับส่วนที่ 17-18 ของการทำคอลัมน์โครมาโทกราฟี ซึ่งชะด้วยไดคลอโรมีเทน-เฮกเซน (25:75) ทำให้บริสุทธิ์โดยการตกผลึกด้วยไดคลอโรมีเทน-เมทานอลหลาย ๆ ครั้ง ทดสอบกับปฏิกิริยา Liebermann-Burchard ได้ผลลบ ไม่พอกจางสี  $\text{Br}_2$  ใน  $\text{CCl}_4$  แสดงว่า สาร ค ไม่ใช่สารประเภท สเตอรอยด์ หรือ ไตรเทอร์พีนอยด์ และไม่เป็นสารประเภทไม่อิ่มตัว

อินฟราเรดสเปกตรัม (รูปที่ 20) แสดงแถบการดูดกลืนที่สำคัญ คือ  $3400-3200 \text{ cm}^{-1}$  ซึ่งเป็นลักษณะของหมู่ O-H,  $1050 \text{ cm}^{-1}$  (C-O),  $720 \text{ cm}^{-1}$ ,  $710 \text{ cm}^{-1}$  [ $(\text{CH}_2)_n$ ,  $n > 4$ ] แถบการดูดกลืนแสดงในตารางที่ 3.5

#### ตารางที่ 3.5 การแปลความหมายของอินฟราเรดสเปกตรัมของ สาร ค

แถบการดูดกลืน ( $\text{cm}^{-1}$ )	ความเข้ม	แสดงลักษณะ
3400-3200	ปานกลาง	O-H สั่นแบบยืดของ R-OH
2920, 2820	สูง	C-H สั่นแบบยืดของ $\text{CH}_3$ , $\text{CH}_2$
1470, 1375	ปานกลาง	C-H สั่นแบบงอ $\text{CH}_3$ , $\text{CH}_2$
1050	ปานกลาง	C-O สั่นแบบยืด และ O-H สั่นแบบงอ
720, 710	ปานกลาง	C-H สั่นแบบงอแบบโคลงของ $(\text{CH}_2)_n$ , $n > 4$

โปรตอนเอ็นเอ็มอาร์สเปกตรัม ( $CDCl_3$ ) (รูปที่ 21) ปรากฏสัญญาณโปรตอน ที่ 3.67 ppm เกิดจากโปรตอนที่ต่อกับออกซิเจน สัญญาณโปรตอนที่ 1.27 เกิดจากหมู่เมทิล และสัญญาณที่ 0.90 ppm (3H) เกิดจากหมู่เมทิล [38]

จากข้อมูลสเปกโทรสโกปี แสดงว่า สาร ค น่าจะเป็นสารประกอบแอลกอฮอล์ ไซตรง จึงทำการยืนยันโครงสร้างของ สาร ค โดยแก๊สโครมาโทกราฟี เปรียบเทียบกับสารละลายมาตรฐานแอลกอฮอล์ไซตรง (รูปที่ 24) พบว่า สาร ค ให้ค่า retention time เท่ากับ 7.10, 9.37, 11.70, 15.80 และ 19.70 และจากการเปรียบเทียบค่า log retention time ของจำนวนคาร์บอนของสารละลายมาตรฐานแอลกอฮอล์ไซตรง กับ สาร ค (รูปที่ 25)

แมสสเปกตรัม (รูปที่ 23) ไม่ปรากฏพีคของไอออนเชิงโมเลกุล ( $M^+$ ) แต่จะ ปรากฏพีคสำคัญที่เกิดจาก การสูญเสีย  $H_2O$  1 โมเลกุลจากพีคของไอออนเชิงโมเลกุล ( $M^+ - H_2O$ ) [38] ที่ m/e 392, 378, 364, 350 และ 336 พีคที่เกิดจากการสูญเสีย  $H_2O$  1 โมเลกุล และเอทิลีน 1 โมเลกุล ( $M^+ - [H_2O] - [CH_2=CH_2]$ ) [38,39] ที่ m/e 364, 350, 336, 322 และ 308 และพีคที่เป็นลักษณะเฉพาะของ long chain aliphatic primary alcohol ซึ่งเกิดจากการสูญเสียมวลไปครั้งละ 28 ( $CH_2=CH_2$ ) [38] เช่น m/e 392 ( $M^+ - H_2O$ ), 364 ( $M^+ - H_2O - C_2H_4$ ), 336 ( $364 - C_2H_4$ ), 308 ( $336 - C_2H_4$ ), 280 ( $308 - C_2H_4$ ), 252 ( $280 - C_2H_4$ ), 224 ( $252 - C_2H_4$ ), 167 ( $336 - (CH_2)_{11}CH_3$ ), 97 ( $167 - C_5H_{10}$ )

จากข้อมูลการศึกษาทางสเปกโทรสโกปี แก๊สโครมาโทกราฟี และ ปฏิกิริยาเคมีจึงสรุปว่า สาร ค เป็นของผสมแอลกอฮอล์ไซตรงที่ประกอบด้วย  $C_{24} - C_{28}$  และมีสูตรโมเลกุลดังนี้คือ

C <sub>24</sub> H <sub>49</sub> OH ( tetracosanol )	มีปริมาณ	8.9 %
C <sub>25</sub> H <sub>51</sub> OH ( pentacosanol )	มีปริมาณ	1.7 %
C <sub>26</sub> H <sub>53</sub> OH ( hexacosanol )	มีปริมาณ	35.5 %
C <sub>27</sub> H <sub>55</sub> OH ( heptacosanol )	มีปริมาณ	10.8 %
C <sub>28</sub> H <sub>57</sub> OH ( octacosanol )	มีปริมาณ	43.1 %

### 3.1.4 การตรวจสอบสูตรโครงสร้างของ สาร ง

สาร ง เป็นผลึกรูปแท่งสีขาวหนัก 0.29 กรัม ( $0.8 \times 10^{-2}$  % ของน้ำหนักรากแห้ง) มีจุดหลอมเหลว 257-258 °C  $R_f = 0.63$  (เมทานอล-ไดคลอโรมีเทน 1:99) ได้จากลำดับส่วนที่ 1-10 ของการทาคอลัมน์โครมาโทกราฟีของสารลำดับส่วนที่ 10-11 จากข้อ 2.7.2.3 ของสิ่งสกัดด้วยไดคลอโรมีเทน ทำให้บริสุทธิ์โดยการตกผลึกด้วยเฮกเซน-ไดคลอโรมีเทน หลาย ๆ ครั้ง สาร ง ละลายได้ดีใน ไดคลอโรมีเทน คลอโรฟอร์ม เมทานอล จากการทดสอบปฏิกิริยาเคมีพบว่า ให้ผลลบกับปฏิกิริยา Liebermann-Burchard, Br<sub>2</sub> ใน CCl<sub>4</sub>, 2,4-DNP, Flavanoid reagent และ Dragendorff s reagent แสดงว่า สาร ง ไม่ใช่สารประเภทสเตอรอยด์, ไตรเทอร์ปีนอยด์, แอลดีไฮด์, คีโตน, xanthenes, rotenoids, flavanoids และ alkaloids

อินฟราเรดสเปกตรัม (รูปที่ 26) แสดงแถบการดูดกลืนที่สำคัญ(ซม.<sup>-1</sup>) คือ 3600-3200 (O-H), 3060 และ 3020 (=C-H), 1670 (C=O), 1600, 1530 และ 1500 (C=C aromatic), 1250 และ 1020 (=C-O ของอีเธอร์), 1100 (C-O ของแอลกอฮอล์) 820 และ 810 ( para-substitued), 740 และ 700 (mono-substitued) แถบการดูดกลืนของ สาร ง ได้รวบรวมแสดงไว้ในตารางที่ 3.6

ตารางที่ 3.6 การแปลความหมายของอินฟราเรดสเปกตรัมของ สาร ึ่ง

แถบการดูดกลืน ( $\text{cm}^{-1}$ )	ความเข้ม	แสดงลักษณะ
3600-3200	ปานกลาง	O-H สั่นแบบยึด (H-bonded)
3080, 3020	ต่ำ	C-H สั่นแบบยึดของแอโรมาติก
2920, 2850	ต่ำ	C-H สั่นแบบยึดของ $\text{CH}_3$ , $\text{CH}_2$
1670	สูง	C=O สั่นแบบยึดเมื่อต่อกับพันธะคู่ หรือ C=O ของเอมิด
1600, 1530, 1500	สูง	C=C สั่นแบบยึดของแอโรมาติก
1450, 1380	ปานกลาง	C-H สั่นแบบยึดของ $\text{CH}_2$ , $\text{CH}_3$
1300	ปานกลาง	C-N สั่นแบบยึด
1250	สูง	C-O สั่นแบบยึดไม่สมมาตรของ =C-O-C
1140	สูง	C-O สั่นแบบยึดไม่สมมาตรของ $-\text{OCH}_3$
1100	สูง	C-O สั่นแบบยึดของแอลกอฮอล์
1020	สูง	C-O สั่นแบบยึดแบบสมมาตรของ =C-O-C
820, 810	ปานกลาง	=CH สั่นแบบงอนอกระนาบของแอโรมาติก ชนิด para-substituted
740, 700	ปานกลาง	=CH สั่นแบบงอนอกระนาบของแอโรมาติก ชนิด mono-substituted

โปรตอนเอ็นเอ็มอาร์สเปกตรัม (รูปที่ 27) ปรากฏสัญญาณของ 28 โปรตอนของหมู่เมธอกซี 3 หมู่ หมู่เมธิลีน 3 หมู่ หมู่เมโรน 1 หมู่ โปรตอนของแอโรมาติก 11 โปรตอน และโปรตอนที่เกาะอยู่กับออกซิเจน 1 โปรตอน โดยสัญญาณที่ 2.20-2.32 (m, 2H), 3.12-3.28 (m, 2H) และ 4.02-4.18 ppm (m, 2H) เป็นสัญญาณที่เกิดจากหมู่ CH<sub>2</sub> สัญญาณของหมู่เมธอกซีปรากฏที่ 3.83 (s, 3H), 3.78 (s, 3H) และ 3.66 ppm (s, 3H) ส่วนโปรตอนของหมู่ CH ปรากฏที่ 4.69 ppm (s, 1H) แสดงว่าต่ออยู่กับส่วนที่มีขั้วสำหรับโปรตอนของแอโรมาติก 11 โปรตอน ให้สัญญาณปรากฏที่ 6.04 ppm (d, J=2 Hz, 1H) กับ 6.19 ppm (d, J=2 Hz, 1H) แสดงว่าโปรตอนทั้งสองเป็นโปรตอนที่อยู่บนลักษณะ meta ซึ่งกันและกัน และเกิด couple กัน ให้ค่า coupling constant(J)=2 Hz เท่ากัน ทั้งสองโปรตอน นอกจากนี้ยังพบสัญญาณของแอโรมาติกโปรตอนที่ 6.52-6.58 (d, J=8 Hz, 2H), 6.85-6.89 (m, 2H) และ 7.02-7.10 ppm (m, 5H)

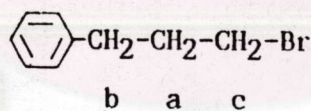
จากการทำ deuterium exchange โปรตอนเอ็นเอ็มอาร์สเปกตรัม (รูปที่ 28) ปรากฏว่า สัญญาณที่ 3.32 ppm (s, 1H) หายไป และปรากฏสัญญาณที่ 4.72 ppm ขึ้นมาแทนซึ่งเป็นสัญญาณของ H-O-D จึงสรุปว่า สัญญาณโปรตอนที่ 3.32 ppm คือ หมู่ OH

คาร์บอน-13 เอ็นเอ็มอาร์สเปกตรัม (รูปที่ 29) ปรากฏสัญญาณของ 27 คาร์บอน และจากผลการทำ คาร์บอน-13 เอ็นเอ็มอาร์สเปกตรัม (DEPT 90) (รูปที่ 30) ซึ่งแสดงเฉพาะเมโรนคาร์บอน(CH) และปรากฏสัญญาณทั้งหมด 8 คาร์บอน ดังนี้ 129.2, 128.9, 127.6, 126.7, 112.2, 92.6, 89.0 และ 56.9 ppm จากผลการทำ คาร์บอน-13เอ็นเอ็มอาร์สเปกตรัม(DEPT 135) (รูปที่ 31) พบว่าประกอบด้วย เมธิลีนคาร์บอน 3 คาร์บอน ปรากฏที่ 46.7, 32.7 และ 19.4 ppm เมธอกซีคาร์บอน 3 อะตอม ปรากฏที่ 55.6, 55.5 และ 54.9 ppm และสามารถสรุปได้ว่า มี quaternary carbon 13 อะตอม ปรากฏที่ 166.7, 166.0, 163.4, 160.8, 159.0, 158.6, 158.0, 136.9, 127.0, 121.4, 107.2, 103.6 และ 90.3 ppm

การศึกษา Two dimension (COSY) เอ็นเอ็มอาร์สเปกตรัม (รูปที่ 32)

พบลักษณะที่สำคัญคือ

1. สัญญาณโปรตอนของหมู่เมธิลีน 3 หมู่ couple กันโดยสัญญาณโปรตอนที่ 2.20-2.32 ppm couple กับ สัญญาณที่ 3.12-3.28 ppm และ 4.02-4.18 ppm สัญญาณโปรตอนที่ 3.12-3.28 ppm couple กับสัญญาณที่ 2.20-2.32 ppm และสัญญาณโปรตอนที่ 4.02-4.18 ppm couple เฉพาะกับสัญญาณที่ 2.20-2.32 ppm แต่สัญญาณโปรตอนที่ 3.12-3.28 ppm ไม่ couple กับสัญญาณโปรตอนที่ 4.02-4.18 ppm แสดงว่าสัญญาณโปรตอนของหมู่เมธิลีนที่ 4.02-4.18 ppm ต้องเกาะอยู่กับเฮเทอโรอะตอม (O,N) สัญญาณโปรตอนของหมู่เมธิลีนที่ 3.12-3.28 ppm ต่ออยู่กับส่วนที่มีขั้วแต่ได้รับผลน้อยกว่าสัญญาณโปรตอนที่ 4.02-4.18 ppm และสัญญาณของหมู่เมธิลีนที่ 2.20-2.32 ppm จะต่ออยู่กับหมู่เมธิลีนที่ 3.12-3.28 ppm และหมู่เมธิลีนที่ 4.02-4.18 ppm และโครงสร้างของหมู่เมธิลีนที่ต่อกันจะไม่เป็นแบบไซตรงเพราะถ้าต่อกันเป็นแบบไซตรงแล้วค่า chemical shift จะต่างจากที่พบในสาร ๑ เช่น 3-Bromo-1-phenylpropane [40] จะให้ค่า chemical shift ของหมู่เมธิลีนทั้ง 3 หมู่ดังนี้



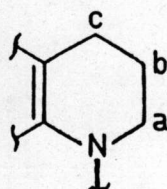
โปรตอน a ให้สัญญาณที่ 2.0-2.5 ppm (pentet)

โปรตอน b ให้สัญญาณที่ 2.6-3.1 ppm (triplet)

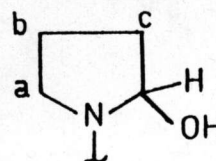
โปรตอน c ให้สัญญาณที่ 3.2-3.6 ppm (triplet)

จากข้อมูลดังกล่าวข้างต้นสรุปได้ว่า หมู่เมธิลีน 3 หมู่มีโครงสร้างที่เป็นไปได้

ดังนี้



หรือ



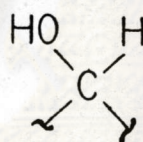




- โปรตอน a ๑ ให้สัญญาณที่ 4.02-4.18 ppm (multiplet)  
โปรตอน b ๑ ให้สัญญาณที่ 2.20-2.32 ppm (multiplet)  
โปรตอน c ๑ ให้สัญญาณที่ 3.12-3.28 ppm (multiplet)

2. สัญญาณโปรตอนที่ 4.69 ppm เป็นสัญญาณของโปรตอนที่เกาะอยู่กับคาร์บอนที่มีไฮบริดเซชันแบบ  $sp^3$  และ อะตอมคาร์บอนนี้เกาะอยู่กับออกซิเจนซึ่งมีค่าอิเล็กโตรเนกาติวิตีสูง จึงทำให้เกิด deshielded ดังนั้นค่า chemical shift จึงสูงขึ้น และไม่ couple กับโปรตอนใด ๆ เลยแต่จะเกิด long range coupling กับสัญญาณโปรตอนของหมู่ไฮดรอกซิลที่ 3.32 ppm

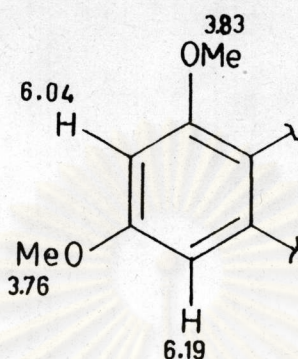
จากข้อมูลสามารถสรุปได้ว่าโครงสร้างที่เป็นไปได้คือ



3. สัญญาณโปรตอนของหมู่เมธอกซี ที่ 3.83 ppm (s, 3H) เกิด long range coupling กับสัญญาณของแอมโรมาติกโปรตอนที่ 6.04 ppm (d,  $J=2 \text{ Hz}$ , 1H) และสัญญาณโปรตอนของหมู่เมธอกซีที่ 3.78 ppm (s, 3H) เกิด long range coupling กับสัญญาณของแอมโรมาติกโปรตอนที่ 6.04 ppm (d,  $J=2 \text{ Hz}$ , 1H) และ 6.19 ppm (d,  $J=2 \text{ Hz}$ , 1H)

4. สัญญาณของแอมโรมาติกโปรตอนที่ 6.04 ppm (d,  $J=2 \text{ Hz}$ , 1H) จะเกิด long range coupling กับสัญญาณของหมู่เมธอกซีที่ 3.76 ppm (s, 3H) และ 3.83 ppm (s, 3H) แต่สัญญาณแอมโรมาติกโปรตอนที่ 6.19 ppm (d,  $J=2 \text{ Hz}$ , 1H) จะเกิด long range coupling เฉพาะกับสัญญาณของหมู่เมธอกซีที่ 3.76 ppm (s, 3H) เท่านั้น

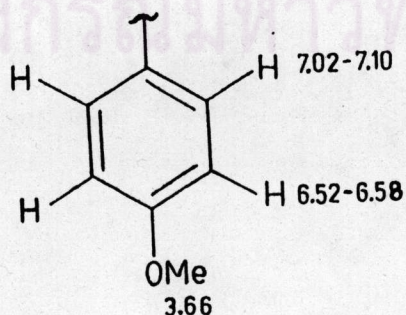
จากข้อมูลในข้อ 3 และ 4 สามารถสรุปโครงสร้างและค่า chemical shift ได้ดังนี้



5. สัญญาณของหมู่เมทอกซีที่ 3.66 ppm (s, 3H) เกิด long range coupling กับสัญญาณของแอมโรมาติกโปรตอนที่ 6.52-6.58 ppm (d,  $J=8 \text{ Hz}$ , 2H)

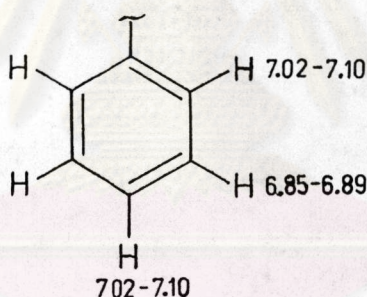
6. สัญญาณแอมโรมาติกโปรตอนที่ 6.52-6.58 ppm (d,  $J=8 \text{ Hz}$ , 2H) จะ couple กับสัญญาณแอมโรมาติกโปรตอนที่ 7.02-7.10 ppm แสดงว่าแอมโรมาติกโปรตอนที่ 6.52-6.58 ppm (2H) กับ แอมโรมาติกโปรตอนที่ 7.02-7.10 ppm (2H) จะอยู่ในตำแหน่ง ortho ซึ่งกันและกัน จึงให้สัญญาณเป็น doublet มีค่า coupling constant ( $J$ ) เท่ากับ  $8 \text{ Hz}$  และมีลักษณะสมมาตรด้วย

จากข้อมูลในข้อ 5 และ 6 สามารถสรุปโครงสร้างและตำแหน่งของค่า chemical shift ได้ดังนี้



7. สัญญาณแอมโรมาติกโปรตอนที่มี 6.85-6.89 ppm (2H) จะ couple กับสัญญาณของแอมโรมาติกโปรตอนที่มี 7.02-7.10 ppm (3H) จากพื้นฐานที่ว่าโปรตอนที่มีอิเล็กตรอนหนาแน่นมาก ค่า chemical shift ( $\delta$ ) จะต่ำ เมื่อพิจารณาข้อมูลข้างต้นแสดงว่าสัญญาณของแอมโรมาติกโปรตอนที่มี 7.02-7.10 ppm ซึ่งประกอบด้วย 3 โปรตอน จะมีอิเล็กตรอนหนาแน่นน้อยกว่าสัญญาณของแอมโรมาติกโปรตอนที่มี 6.85-6.89 ppm ซึ่งมี 2 โปรตอน ดังนั้นโครงสร้างของวงแอมโรมาติกที่เป็นไปได้คือ mono-substituted benzene โดยที่หมู่แทนที่นั้นจะต้องเป็นหมู่ที่ดึงอิเล็กตรอนจากวงแอมโรมาติก ถ้าเป็นหมู่ที่ให้อิเล็กตรอนกับวงแอมโรมาติกแล้วสัญญาณของแอมโรมาติกโปรตอนที่มี 3 โปรตอน จะเกิดที่ค่า chemical shift ต่ำกว่าสัญญาณของแอมโรมาติกโปรตอนที่มี 2 โปรตอน ซึ่งไม่ตรงกับโปรตอนเฮนเอ็มอาร์สเปกตรัม (รูปที่ 27)

จากข้อมูลดังกล่าวข้างต้นสรุปโครงสร้างได้ดังนี้



การศึกษา C-H correlation (รูปที่ 33) พบลักษณะที่สำคัญดังแสดงใน

ตารางที่ 3.7

ตารางที่ 3.7 แสดง C-H correlation ของสาร           

ค่า chemical shift ของโปรตอนเอ็นเอ็มอาร์ (ppm)	จำนวนโปรตอน	ค่า chemical shift ของคาร์บอน-13 เอ็นเอ็มอาร์ (ppm)
7.02-7.10	5	128.9, 127.6, 126.7
6.85-6.89	2	129.2
6.55-6.57	2	112.2
6.19	1	89.0
6.04	1	92.6
4.69	1	56.9
4.02-4.18	2	46.7
3.83	3	55.6
3.78	3	55.5
3.66	3	54.9
3.12-3.28	2	32.7
2.20-2.30	2	19.4

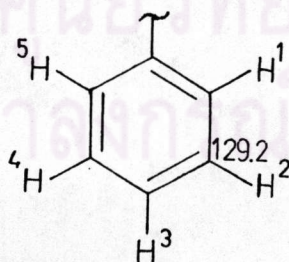
จากตารางที่ 3.7 สามารถสรุปได้ดังนี้

1. สัญญาณเอโรมาติกโปรตอนที่ 7.02-7.10 ppm จาก integration ประกอบด้วย 5 โปรตอน จะปรากฏสัญญาณของเมโรไนคาร์บอน (CH) 3 อะตอมที่ 128.9, 127.6 และ 126.7 ppm แสดงว่า มี เมโรไนคาร์บอน เกิดสัญญาณที่เดียวกัน 2 กลุ่ม
2. สัญญาณเอโรมาติกโปรตอนที่ 6.85-6.89 ppm จาก integration มี 2 โปรตอน จะปรากฏสัญญาณเมโรไนคาร์บอน 1 อะตอม ที่ 129.2 ppm แสดงว่า มี เมโรไนคาร์บอน 2 อะตอม ปรากฏที่สัญญาณเดียวกัน

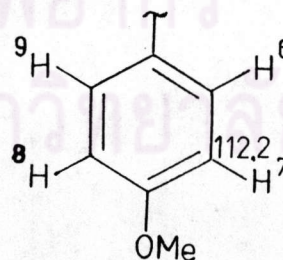
3. สัญญาณแอรอมาติกโปรตอนที่ 6.52–6.56 ppm จาก integration มี 2 โปรตอน จะปรากฏสัญญาณเมธิลคาร์บอน 1 อะตอม ที่ 112.2 ppm แสดงว่า มีเมธิลคาร์บอน 2 อะตอม ปรากฏที่สัญญาณเดียวกัน

จากการพิจารณาข้อมูลข้างต้นสรุปได้ว่า สาร ข จะมี เมธิลคาร์บอน 12 อะตอม เมธอกซีคาร์บอน 3 อะตอม และเมธิลีนคาร์บอน 3 อะตอม

พิจารณาข้อมูล 2D(COSY)เอ็นเอ็มอาร์สเปกตรัม และ C-H correlation สามารถสรุปได้ดังนี้ สัญญาณแอรอมาติกโปรตอนที่ 7.02–7.10 ppm ซึ่งมี 5 โปรตอนจะประกอบด้วยโปรตอน 2 กลุ่มคือ กลุ่มแรกมี 2 โปรตอน ( $J=8\text{H}_2$ ) เกิดร่วมกับสัญญาณโปรตอนที่ 6.52–6.58 ppm (d,  $J=8\text{H}_2$ , 2H) ซึ่งให้สัญญาณของคาร์บอน-13 เอ็นเอ็มอาร์สเปกตรัมเพียง 1 สัญญาณ ที่ 112.2 ppm ดังนั้นสัญญาณของคาร์บอน-13 เอ็นเอ็มอาร์สเปกตรัมที่เกิดจากแอรอมาติกโปรตอนกลุ่มแรก จะให้เพียง 1 สัญญาณ แสดงว่าวงแอรอมาติกจะมีสมมาตร กลุ่มที่สองมี 3 โปรตอน เกิดร่วมกับสัญญาณแอรอมาติกโปรตอนที่ 6.85–6.89 ppm (2H) ซึ่งให้สัญญาณของคาร์บอน-13 เอ็นเอ็มอาร์สเปกตรัมที่ 129.2 ppm ดังนั้นสัญญาณของคาร์บอน-13 เอ็นเอ็มอาร์สเปกตรัมของแอรอมาติกโปรตอนกลุ่มที่สองจะประกอบด้วย 2 สัญญาณโดยที่ 1 สัญญาณเกิดร่วมกับแอรอมาติกโปรตอนที่ 6.85–6.89 ppm (2H) ส่วนอีก 1 สัญญาณไม่เกิดร่วมกับโปรตอนใดเลย จากข้อมูลข้างต้นโครงสร้างของวงแอรอมาติกเป็นดังนี้



I



II

พิจารณาโครงสร้าง I และ II เปรียบเทียบความหนาแน่นของอิเล็กตรอน จะพบลักษณะสำคัญดังนี้

1. ในโครงสร้าง I ความหนาแน่นของอิเล็กตรอนที่ H<sup>2</sup> และ H<sup>4</sup> จะมากที่สุด และความหนาแน่นของอิเล็กตรอนของ H<sup>3</sup> จะมากกว่า H<sup>1</sup> และ H<sup>5</sup> เนื่องจากผลของหมู่ที่ดึงอิเล็กตรอน ดังนั้นค่า chemical shift ( $\delta$ ) ในคาร์บอน-13 เอ็นเอ็มอาร์สเปกตรัมเป็นดังนี้

$$C_H^3 < C_H^1 \text{ และ } C_H^5$$

2. ในโครงสร้าง II ความหนาแน่นของอิเล็กตรอนที่ H<sup>7</sup> และ H<sup>8</sup> จะมากกว่า H<sup>6</sup> และ H<sup>9</sup> เนื่องจากผลของหมู่ที่ให้อิเล็กตรอน (-OCH<sub>3</sub>) ดังนั้นค่า chemical shift ( $\delta$ ) ในคาร์บอน-13 เอ็นเอ็มอาร์สเปกตรัมเป็นดังนี้

$$C_H^6 \text{ และ } C_H^9 < C_H^7 \text{ และ } C_H^8$$

3. เปรียบเทียบความหนาแน่นของอิเล็กตรอนที่ H<sup>1</sup>, H<sup>3</sup> และ H<sup>5</sup> ในโครงสร้าง I และ H<sup>6</sup>, H<sup>9</sup> ในโครงสร้างที่ II พบว่า ความหนาแน่นของอิเล็กตรอนที่ H<sup>6</sup> และ H<sup>9</sup> จะมากกว่า H<sup>1</sup>, H<sup>3</sup> และ H<sup>5</sup> เนื่องจากผลของหมู่ที่ให้อิเล็กตรอน (-OCH<sub>3</sub>) ดังนั้นค่า chemical shift ( $\delta$ ) ในคาร์บอน-13 เอ็นเอ็มอาร์สเปกตรัมเป็นดังนี้

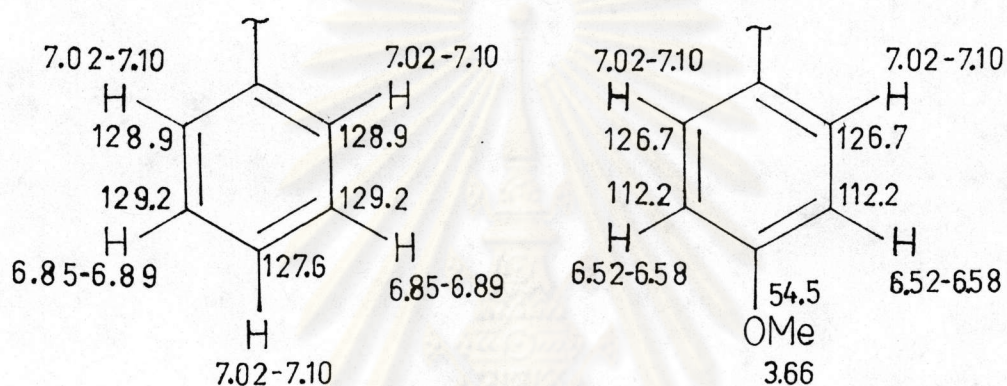
$$C_H^6 \text{ และ } C_H^9 < C_H^1, C_H^3 \text{ และ } C_H^8$$

จากข้อมูลดังกล่าวข้างต้นสามารถเปรียบเทียบความหนาแน่นของอิเล็กตรอนของแอโรมาติกโปรตอนที่ 7.02-7.10 ppm ได้ดังนี้

$$H^6, H^9 > H^3 > H^1, H^5$$

ดังนั้นสัญญาณของคาร์บอน-13 เอ็นเอ็มอาร์สเปกตรัมจะกำหนดได้ดังนี้ คือ  
 126.7 X 2, 127.6, 128.9 X 2 ppm ตามลำดับ

จากการศึกษาข้อมูลข้างต้นสามารถสรุปโครงสร้าง, ค่า chemical shift ของโปรตอน และ คาร์บอน-13 เอ็นเอ็มอาร์สเปกตรัมของวงแหวนมาติกได้ดังนี้



จากการศึกษาข้อมูลคาร์บอน-13 เอ็นเอ็มอาร์สเปกตรัม, DEPT 90, DEPT 135 และ CH correlation สรุปได้ว่า สาร            มีจำนวนคาร์บอนทั้งหมด 31 คาร์บอน ประกอบด้วย ควอเทอร์นารีคาร์บอน (-C-) 13 อะตอม เมไธนคาร์บอน (-CH-) 12 อะตอม เมทิลีนคาร์บอน (-CH<sub>2</sub>-) 3 อะตอม และเมทอกซีคาร์บอน (-OCH<sub>3</sub>) 3 อะตอม

จาก integration ของโปรตอนเอ็นเอ็มอาร์สเปกตรัม มีจำนวนไฮโดรเจนทั้งหมด 28 อะตอม

จากการทำ elemental analysis สาร ๑ แสดงดังตารางที่ 3.8

ตารางที่ 3.8 ผลการวิเคราะห์ elemental analysis ของ สาร ๑

วิเคราะห์โดย	ครั้งที่	% C	% H	% N
ศูนย์เครื่องมือวิจัยฯ	1	68.91	5.04	—*
	2	68.99	5.24	—*
คณะวิทยาศาสตร์ มทสจ.	1	60.02	4.46	4.56
	2	60.87	4.54	3.74
	3	61.11	4.64	3.95

หมายเหตุ \* หมายถึง ไม่วิเคราะห์ N

แมสสเปกตรัม (รูปที่ 34) ปรากฏไอออนเชิงโมเลกุล ( $M^+$ ) ที่  $m/e$  524 สูตรที่เป็นไปได้มีดังนี้  $C_{32}H_{28}O_7$ ,  $C_{31}H_{24}O_8$ ,  $C_{30}H_{20}O_9$ ,  $C_{26}H_{36}O_{11}$ ,  $C_{31}H_{28}N_2O_6$  จากข้อมูลทางสเปกโทรสโกปีสามารถสรุปได้ว่า สูตรโมเลกุลของสาร ๑ คือ  $C_{31}H_{28}N_2O_6$  (จากการคำนวณ % C = 70.99, % H = 5.34, % N = 5.34 ) และจากการค้นคว้าจากเอกสารอ้างอิงพบว่ายังไม่เคยมีใครพบสารนี้มาก่อน



จากข้อมูลทั้งหมดที่ศึกษามา สามารถหาสูตรโครงสร้างที่อาจจะเป็นไปได้

ของสาร ง คือ

สูตรโมเลกุล  $C_{31}H_{28}N_2O_6$

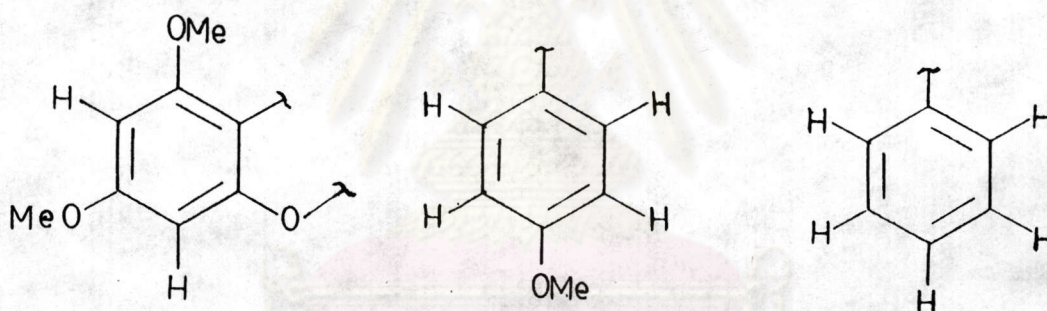
$$\text{ring plus double bond} = \frac{31 - 28 + 2 + 1}{2} = 19$$

$$= 31 - 14 + 1 + 1 = 19$$

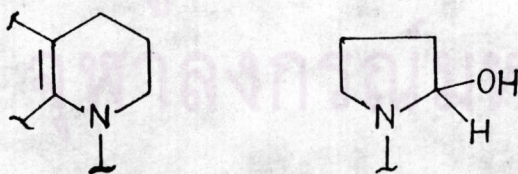
จากข้อมูลสเปกโทรสโกปี พบโครงสร้างต่าง ๆ ดังนี้

1. conjugated carbonyl หรือ carbonyl amide

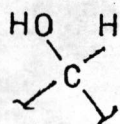
2. วงแอโรมาติก



3.



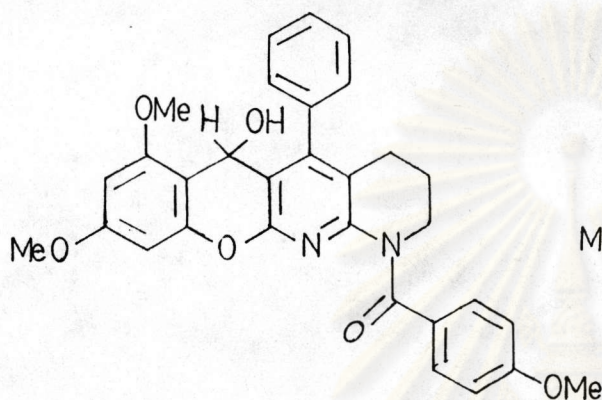
4.



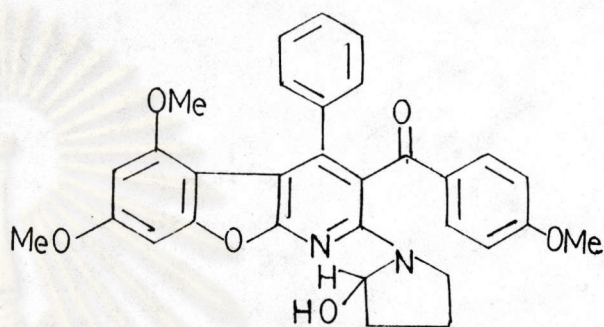
ข้อมูลที่ได้มาทั้งหมดประกอบด้วย  $C_{28}H_{28}NO_5$  และเหลือ  $C_3NO$

ring plus double bond = 17

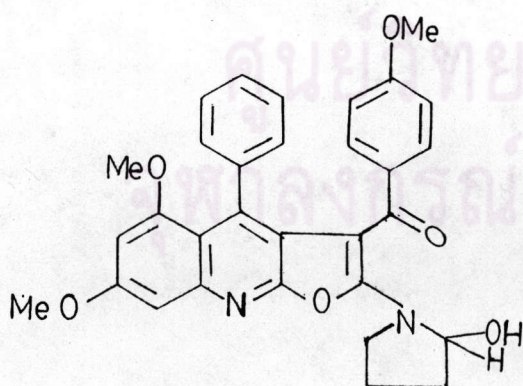
สูตรโครงสร้างที่น่าจะเป็นไปได้คือ



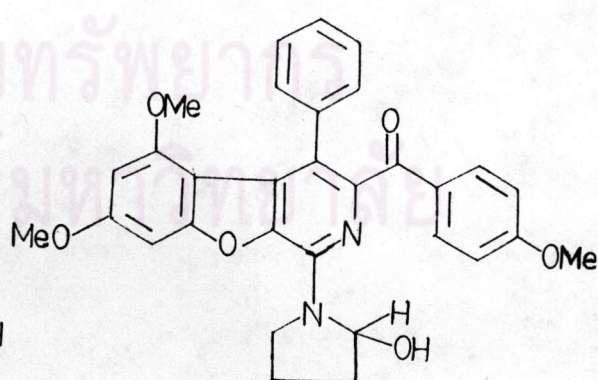
สูตร 1



สูตร 2



สูตร 3



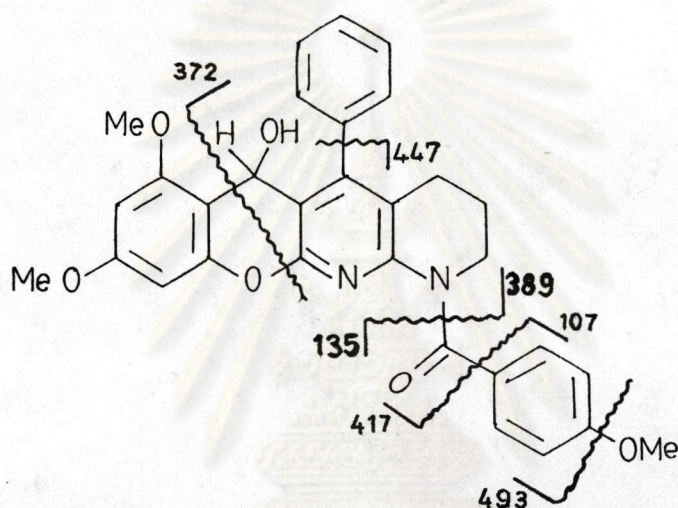
สูตร 4

พิจารณาสูตรโครงสร้างเปรียบเทียบกับข้อมูลทางสเปกโทรสโกปี

สูตร 1 : IR (C=O) 1670-1640  $\text{cm}^{-1}$  [41]

:  $^{13}\text{C}$ -NMR (C=O) 170.8 ppm [38]

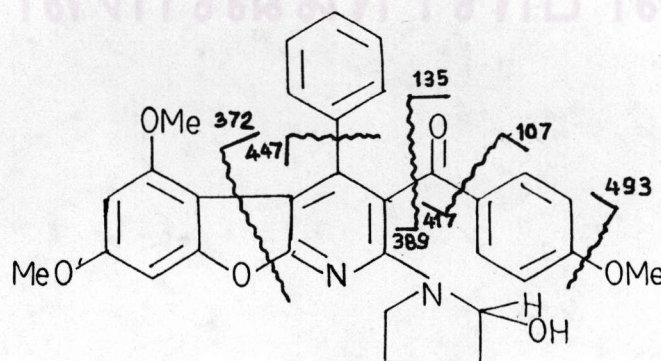
: mass fragmentation [39,42]



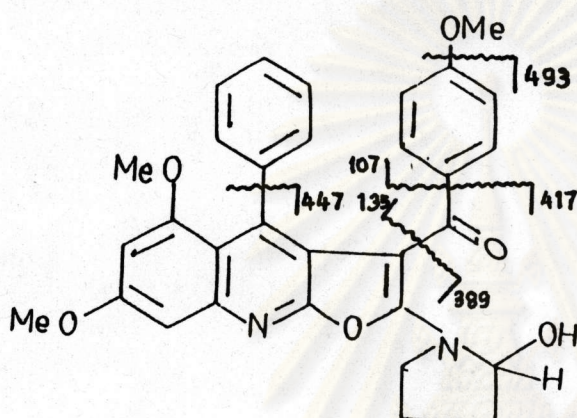
สูตร 2 : IR (C=O) 1670-1660  $\text{cm}^{-1}$  [43]

:  $^{13}\text{C}$ -NMR (C=O) 180-190 ppm [38,40,44]

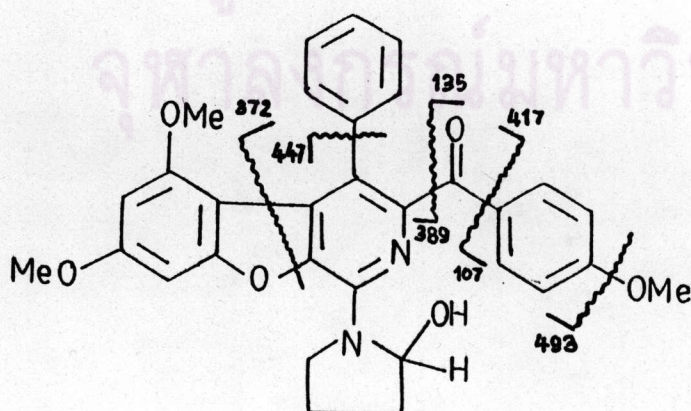
: mass fragmentation [39,42]



- สูตร 3 : IR (C=O) 1670-1660  $\text{cm}^{-1}$  [43]  
 :  $^{13}\text{C}$ -NMR (C=O) 180-190 ppm [38,40,44]  
 : mass fragmentation [39,42]

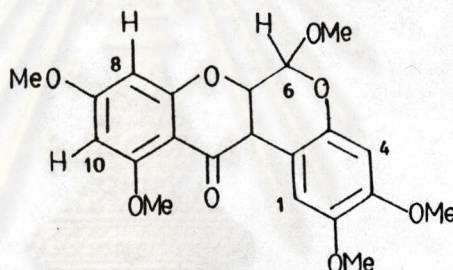


- สูตร 4 : IR (C=O) 1670-1660  $\text{cm}^{-1}$  [43]  
 :  $^{13}\text{C}$ -NMR (C=O) 180-190 ppm [38,40,44]  
 : mass fragmentation [39,42]

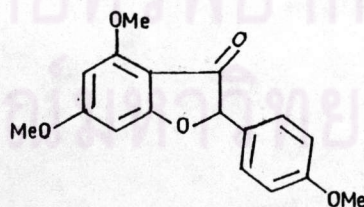


จากข้อมูลทางสเปกโทรสโกปีที่ศึกษามาทั้งหมด โครงสร้างที่น่าจะเป็นไปได้ของ สาร ง คือสูตร 1 เพราะตรงกับข้อมูลสเปกโทรสโกปีมากที่สุด และสามารถกำหนดค่า chemical shift ของโปรตอนเอ็นเอ็มอาร์สเปกตรัมของ สาร ง โดยเปรียบเทียบกับสารที่มีโครงสร้างคล้ายคลึงกันจากเอกสารอ้างอิงได้ดังนี้

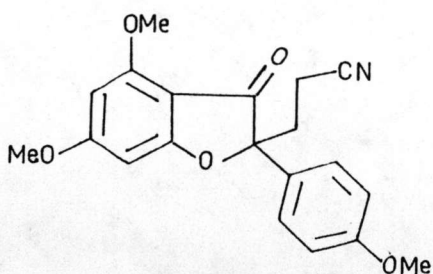
1. โปรตอนเอ็นเอ็มอาร์สเปกตรัมของอนุพันธ์ methylation ของ stemonacetal [45] ให้สัญญาณโปรตอนที่ค่า chemical shift(ppm)ดังนี้ 3.55 (s, 3H, OCH<sub>3</sub>), 3.82 (s, 3H, OCH<sub>3</sub>), 3.87 (s, 3H, OCH<sub>3</sub>), 3.93 (s, 6H, 2 X OCH<sub>3</sub>), 5.70 (s, 1H, H<sup>6</sup>), 6.62 (s, 1H, H<sup>4</sup>), 8.67 (s, 1H, H<sup>1</sup>), 6.32 (d, J=2.2 Hz, 1H, H<sup>8</sup> or H<sup>10</sup>), 6.42 (d, J=2.2 Hz, 1H, H<sup>8</sup> or H<sup>10</sup>)



2. โปรตอนเอ็นเอ็มอาร์สเปกตรัมของ 4,6-Dimethoxy-2-(4-methoxyphenyl)-3-benzofuranone [46] ให้สัญญาณที่ค่า chemical shift(ppm)ดังนี้ 7.30 (d, J=6 Hz, 2H), 6.90 (d, J=6 Hz, 2H), 6.20 (d, J=2 Hz, 1H), 6.00 (d, J=2 Hz, 1H), 5.40 (s, 1H), 3.93 (s, 3H), 3.90 (s, 3H), 3.78 (s, 3H)

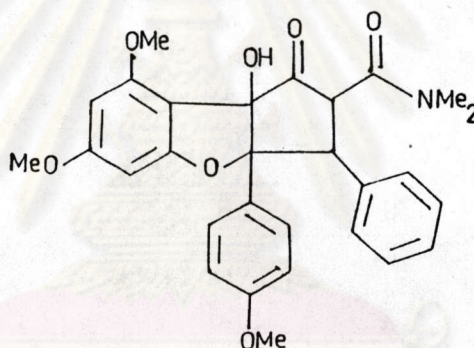


3. โปรตอนเอ็นเอ็มอาร์สเปกตรัมของ 4,6-Dimethoxy-2-(4-methoxyphenyl)-2-(2-cyanoethyl)-3-benzofuranone [46] ให้สัญญาณที่ค่า chemical shift (ppm) ดังนี้ 7.48 (d, J=7 Hz, 2H), 6.85 (d, J=7 Hz, 2H), 6.25 (d, J=2 Hz, 1H), 6.00 (d, J=2 Hz, 1H), 3.88 (s, 3H), 3.85 (s, 3H), 3.75 (s, 3H), 2.55-2.28 (m, 4H)



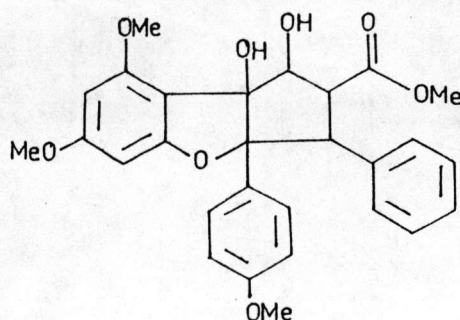
4. โปรตอนเอ็นเอ็มอาร์สเปกตรัมของ Tricyclic Keto Amide [46]

ให้สัญญาณที่ค่า chemical shift(ppm) ดังนี้ 7.35 (d,  $J=8$  Hz, 2H), 7.20 (m, 3H), 7.07 (m, 2H), 6.86 (d,  $J=8$  Hz, 2H), 6.16 (d,  $J=3$  Hz, 1H), 6.03 (d,  $J=3$  Hz, 1H), 4.74 (d,  $J=13$  Hz, 1H), 4.53 (d,  $J=13$  Hz, 1H), 3.80 (s, 3H), 3.78 (s, 3H); 3.76 (s, 3H), 2.95 (s, 3H), 2.86 (s, 3H)

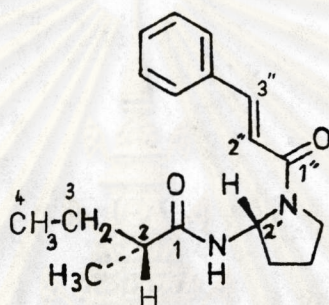


5. โปรตอนเอ็นเอ็มอาร์สเปกตรัมของ Tricyclic Ester [46]

ให้สัญญาณที่ค่า chemical shift(ppm) ดังนี้ 7.33 (d,  $J=8$  Hz, 2H), 7.16 (m, 3H), 6.94 (m, 2H), 6.87 (d,  $J=8$  Hz, 2H), 6.12 (d,  $J=2$  Hz, 1H), 6.05 (d,  $J=2$  Hz, 1H), 4.77 (d,  $J=11$  Hz, 1H), 4.03 (d,  $J=13$  Hz, 1H), 3.81 (s, 3H), 3.78 (s, 3H), 3.76 (s, 3H), 3.60 (s, 3H), 3.24 (dd,  $J=11$  and 13 Hz, 1H)

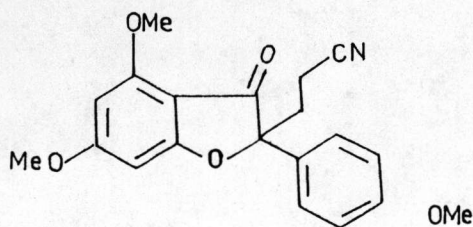


6. โปรตอนเอ็นเอ็มเออาร์สเปกตรัมของ 2-Methyl-N-[1'-1''-oxo-3''-phenylpro-2''-enyl]pyrrolidin-2'-yl]butanamide (odorine) [14] ให้สัญญาณที่ค่า chemical shift(ppm) ดังนี้ 0.7 (t,  $J=6 \text{ Hz}$ ,  $3\text{H}[\text{H}^4]_3$ ), 1.05 (d,  $J=6 \text{ Hz}$ ,  $3\text{H}[\text{CH}_3 \text{ ที่ตำแหน่ง } 2]$ ), 1.4 (m,  $J=6 \text{ Hz}$ ,  $2\text{H}[\text{H}^3]_2$ ), 1.6-2.2 (m,  $5\text{H}[\text{H}^3']_2$ ,  $[\text{H}^4']_2$  and  $\text{H}^2$ ), 3.0-3.8 (m,  $2\text{H}[\text{H}^5']_2$ ), 5.8 (m [เมื่อทำ  $\text{D}_2\text{O}$  exchange ได้ doublet],  $2\text{H}[\text{H}^2'$  and  $\text{NH}]$ ), 6.6 (d,  $J=15 \text{ Hz}$ ,  $1\text{H}[\text{H}^2'']$ ), 6.8-7.2 (m,  $5\text{H}$ , phenyl), 7.3 (d,  $J=15 \text{ Hz}$ ,  $1\text{H}[\text{H}^3'']$ )

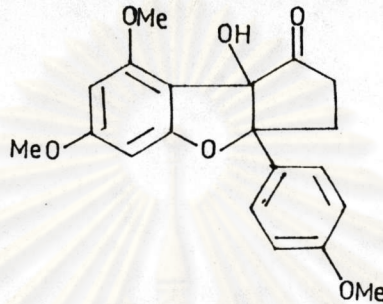


การกำหนดค่า chemical shift ของคาร์บอน-13 เอ็นเอ็มเออาร์สเปกตรัมของโครงสร้างที่น่าจะเป็นไปได้ของ สาร ง ทำโดยอาศัยข้อมูลของค่า chemicals shift ของสารที่มีโครงสร้างที่คล้ายคลึงกับ สาร ง จากเอกสารอ้างอิง ดังนี้

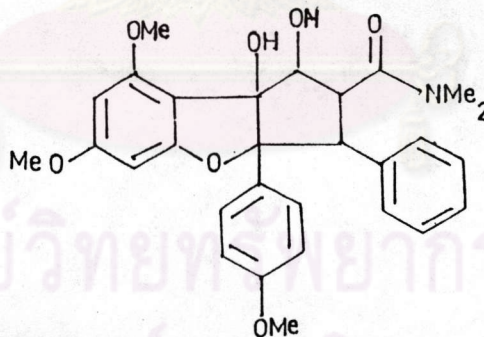
1. คาร์บอน-13 เอ็นเอ็มเออาร์สเปกตรัมของ 4,6-Dimethoxy-2-(4-methoxyphenyl)-2-(2-cyanoethyl)-3-benzofuranone [46] ให้สัญญาณที่ค่า chemical shift(ppm) ดังนี้ 194.40, 173.76, 170.71, 159.56, 159.30, 127.73, 125.82, 118.57, 113.50, 102.81, 93.30, 90.29, 88.85, 55.96, 55.81, 55.03, 33.56 และ 11.90



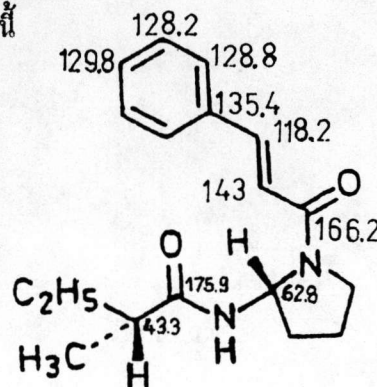
2. คาร์บอน-13 เอ็นเอ็มอาร์สเปกตรัมของ Tricyclic  $\alpha$ -Hydroxy Ketone [46] ให้สัญญาณที่ค่า chemical shift(ppm) ดังนี้ 211.14, 164.19, 161.92, 159.17, 158.08, 129.73, 127.17, 118.90, 105.53, 96.86, 92.19, 88.71, 76.51, 55.46, 55.32, 55.03, 33.97 และ 33.81



3. คาร์บอน-13 เอ็นเอ็มอาร์สเปกตรัมของ Rocaglamide [46] ให้สัญญาณที่ค่า chemical shift(ppm) ดังนี้ 169.0, 163.5, 161.0, 158.0, 157.5, 138.3, 129.0, 128.0, 128.0, 126.5, 112.8, 101.5, 93.8, 92.8, 89.0, 78.5, 56.0, 56.0, 55.5, 55.0, 47.0, 36.9 และ 35.7

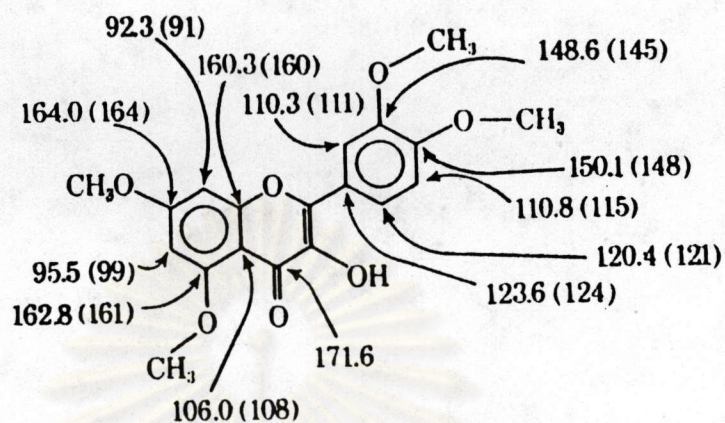


4. คาร์บอน-13 เอ็นเอ็มอาร์สเปกตรัมของ 2-Methyl-N-[1-(1-oxo-3-phenylpro-2-enyl)pyrrolidin-2-yl]butanamide (odorine) [14] ให้สัญญาณที่ค่า chemical shift(ppm) ดังนี้

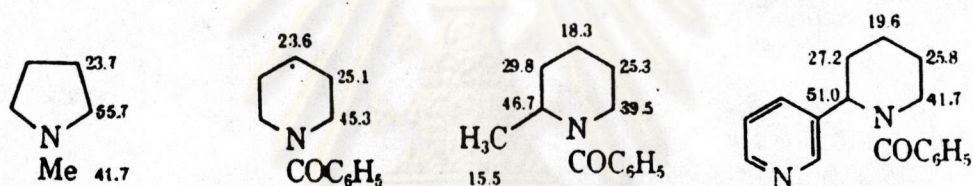




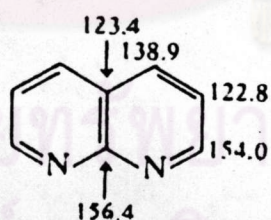
## 5. คาร์บอน-13 เอ็นเอ็มอาร์สเปกตรัมของ Methoxyflavone [47]



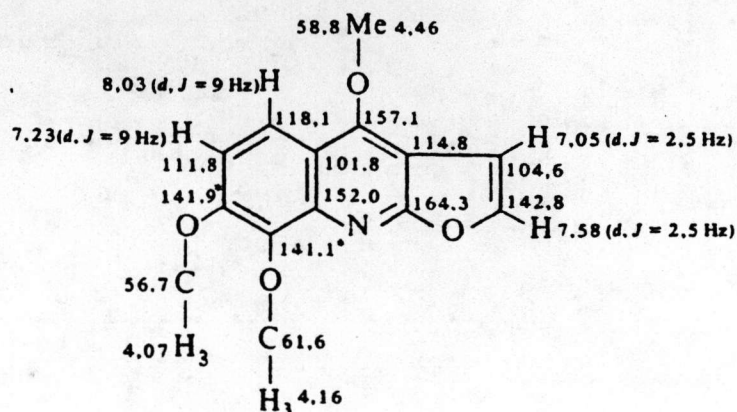
## 6. คาร์บอน-13 เอ็นเอ็มอาร์สเปกตรัมของ Alkaloids [48]



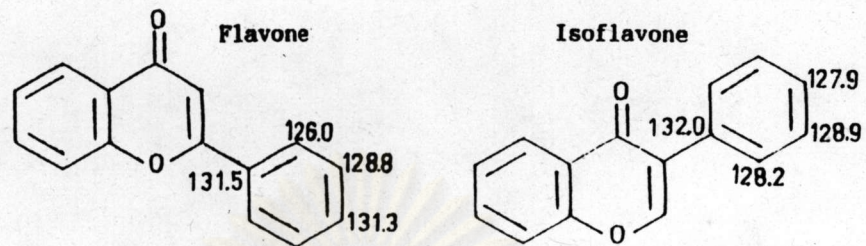
## 7. คาร์บอน-13 เอ็นเอ็มอาร์สเปกตรัมของ 1,8-Naphthyridine [49]



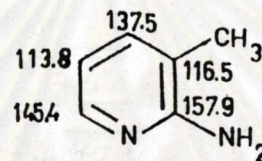
## 8. คาร์บอน-13 เอ็นเอ็มอาร์สเปกตรัมของ Shimmianine [50]



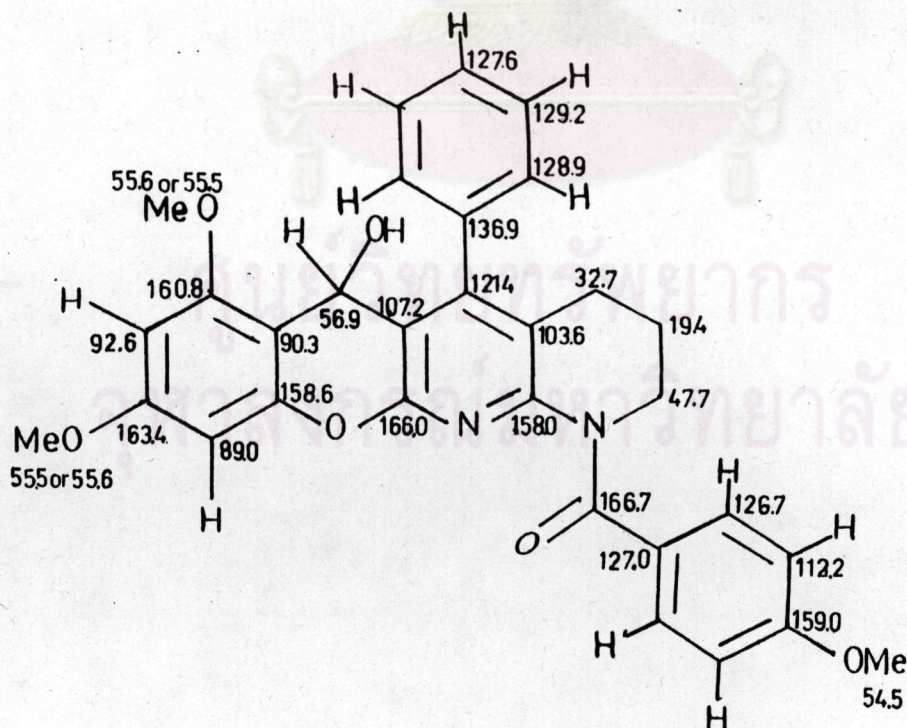
9. คาร์บอน-13 เอ็นเอ็มอาร์สเปกตรัมของ Flavone [47] และ Isoflavone [51,52]



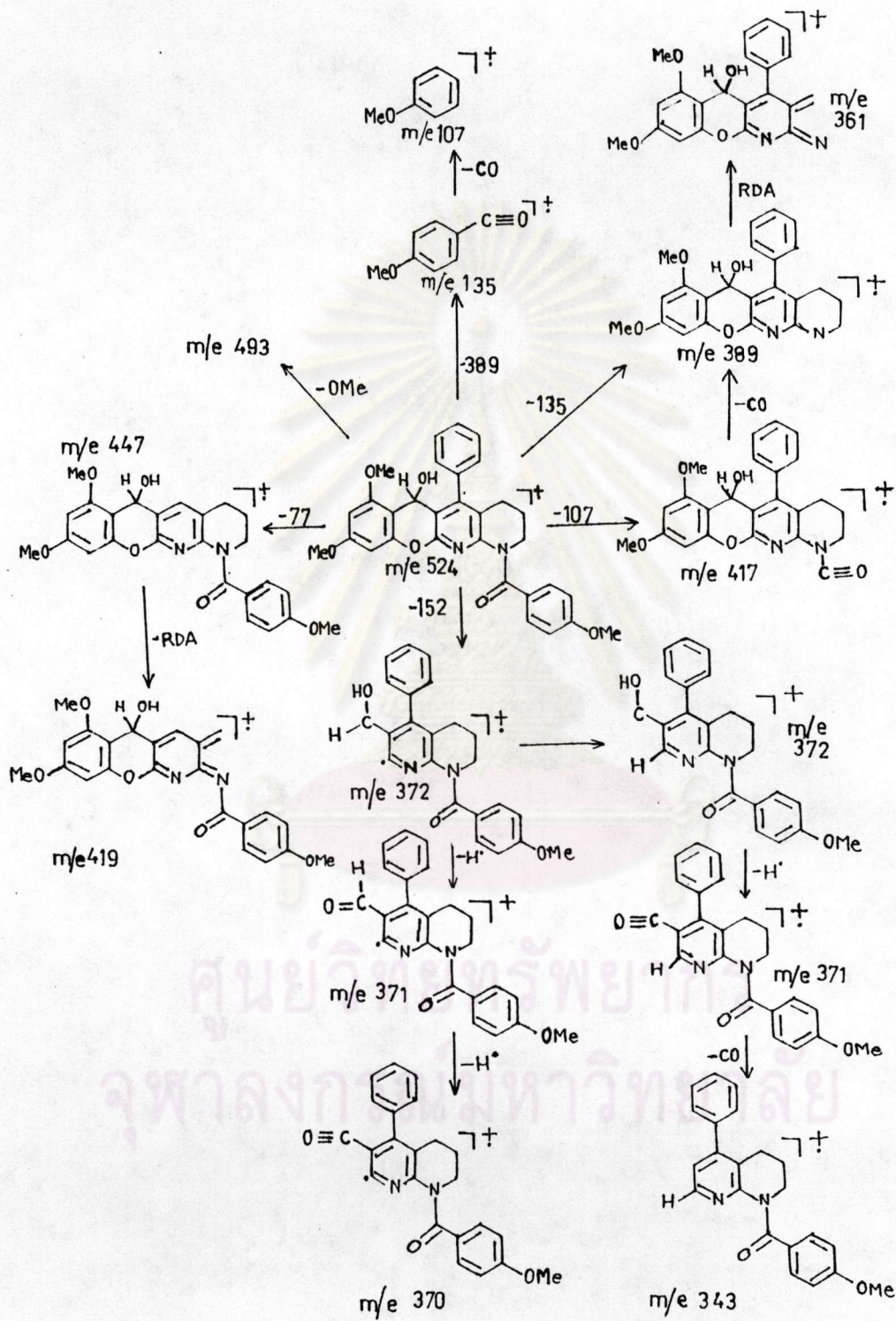
10. คาร์บอน-13 เอ็นเอ็มอาร์สเปกตรัมของ 2-Amino-3-methylpyridine [53]



จากข้อมูลสเปกโทรสโกปี และ เอกสารอ้างอิงสามารถกำหนดตำแหน่งของค่า chemical shift ของคาร์บอนในสูตรโครงสร้างที่น่าจะเป็นไปได้ของ สาร ง ได้ดังนี้

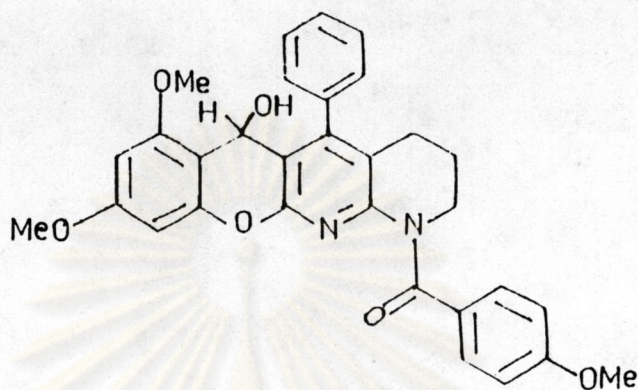


พิจารณาแมสสเปกตรัมของ สาร ง การแตกมวล (mass fragmentation) ของสูตรโครงสร้างที่น่าจะเป็นไปได้ แสดงดังแผนภาพที่ 3.2 [32,42]

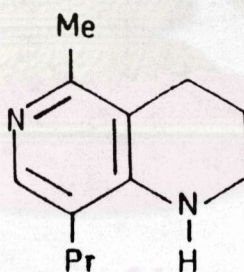


แผนภาพที่ 3.2 รูปแบบที่เป็นไปได้ในการแตกมวลของโมเลกุลของ สาร ง

จากข้อมูลปฏิกิริยาเคมี สเปกโทรสโกปี และ การเปรียบเทียบข้อมูลกับ เอกสารอ้างอิงทั้งหมด สูตรโครงสร้างที่น่าจะเป็นไปได้ของสาร ๖ คือ



สำหรับการเรียกชื่อสูตรโครงสร้างที่น่าจะเป็นไปได้ของสาร ๖ อาศัยหลัก จากเอกสารอ้างอิง [54] และสารบางตัวที่พบในธรรมชาติ เช่น 5-methyl-8-propyl-1,2,3,4-tetrahydro-1,6-naphthyridine [55] ซึ่งมีสูตรโครงสร้างดังนี้



ดังนั้นสูตรที่เป็นไปได้ของสาร ๖ ถ้าพิจารณาที่ Naphthyridine nucleus เรียกชื่อได้ดังนี้คือ 4-Hydroxy-5,7-dimethoxybenzopyro[2,3-*f*]1-(*p*-methoxybenzoyl)-5-phenyl-2,3,4-trihydro-1,8-naphthyridine ถ้าพิจารณาที่ Benzopyran nucleus เรียกชื่อได้ดังนี้ 1-(*p*-Methoxybenzoyl)-5-phenyl-2,3,4-trihydro-1,8-naphthyrido[6,7-*b*]4-hydroxy-5,7-dimethoxybenzopyran

### 3.2 ฤทธิ์ทางชีวภาพของสารที่แยกได้จากเอกสารอ้างอิง

สาร ก คือของผสม campesterol, stigmasterol และ  $\beta$ -sitosterol สเตอรอยด์เหล่านี้พบกระจายทั่วไปในพืชและสเตอรอยด์ในพืชส่วนใหญ่จะถูกใช้เป็นสารตั้งต้นในการเตรียมสเตอรอยด์ฮอร์โมน เช่น stigmasterol ได้มีรายงานว่าถูกใช้เป็นสารตั้งต้นในการสังเคราะห์ ฮอร์โมนโปรเจสเตอโรน (progesterone)[56]  $\beta$ -sitosterol มีฤทธิ์ hypercholesterolemia [57] นอกจากนี้ของผสมสเตอรอยด์ยังมีฤทธิ์ antifeedant [58]

สาร ข คือของผสม campesteryl-3-O-glucopyranoside, stigmasteryl-3-O-glucopyranoside และ  $\beta$ -sitosteryl-3-O-glucopyranoside จากการค้นคว้าจากเอกสารอ้างอิงพบว่า  $\beta$ -sitosteryl-3-O-glucopyranoside มีผลต่อ vascular permeability, antiulcerogenic และ hemostatic effect [59] และมีผลในการกระตุ้นการเจริญเติบโตในมนุษย์ [60] นอกจากนี้ได้มีรายงานว่าของผสม steryl glycoside ที่ประกอบด้วย  $\beta$ -sitosteryl-3-O-glucopyranoside มีฤทธิ์ antitumor activity ต่อ leukemia [61-62]

สาร ง เนื่องจาก สาร ง เป็นสารใหม่ดังนั้นจึงไม่มีรายงานเกี่ยวกับฤทธิ์ทางชีวภาพในเอกสารอ้างอิง แต่ได้มีการทดสอบความเป็นพิษกับปลาหางนกยูงและได้ผลดังตารางที่ 3.9

ตารางที่ 3.9 แสดงผลความเป็นพิษต่อปลาหางนกยูงของ สาร ง

สาร	ความเข้มข้นของสาร(กรัมต่อ 200 มิลลิลิตร)	% ปลาตายหลังใส่สาร 24 ชั่วโมง
สาร ง	0.001	0
	0.005	0
	0.010	0
ควบคุม	0.000	0

จากตารางที่ 3.9 แสดงว่า สาร ข ไม่แสดงความเป็นพิษต่อปลาทางนัยง แต่จาก  
สิ่งสกัดด้วยเมธานอลของรากประยงค์ จะแสดงความเป็นพิษต่อปลาทางนัยงที่ความเข้มข้น  
0.100 กรัมต่อ 20 มิลลิลิตร ทำให้สามารถสรุปได้ว่า

1. สาร ข ความเข้มข้นต่ำเกินไปจึงไม่แสดงความเป็นพิษต่อปลาทางนัยง
2. สาร ข ไม่แสดงความเป็นพิษต่อปลาทางนัยง



ศูนย์วิทยทรัพยากร  
จุฬาลงกรณ์มหาวิทยาลัย